

人及小鼠肝细胞膜载脂蛋白CⅢ受体的研究*

方定志 刘秉文

(华西医科大学生物化学与分子生物学研究所, 成都 610041)

提 要

用¹²⁵I标记载脂蛋白CⅢ(apoCⅢ)为配体,采用聚乙二醇沉淀分离法,建立了小鼠肝细胞膜apoCⅢ受体(结合位点)放射分析法,并对人及小鼠肝细胞膜apoCⅢ结合位点的特性进行了研究。

关键词 载脂蛋白CⅢ受体(结合位点), 肝细胞膜, 放射分析法

载脂蛋白(apolipoprotein, apo)C是分子量较小的一类载脂蛋白,主要分布在血浆乳糜微粒(CM)、极低密度脂蛋白(VLDL)及高密度脂蛋白(HDL)中。apoC包括apoC I, apoC II及apoC III三个亚类。apoC III由79个氨基酸组成,分子量为8751D,含有以唾液酸为末端的糖基侧链,根据所含唾液酸的分子数又可分为apoC III₀, apoC III₁及apoC III₂三种,其等电点分别为4.93, 4.72和4.45^[1]。实验证明, apoC III除可抑制脂蛋白酯酶(LPL)活性外,还可抑制肝细胞膜apoE受体的识别功能,在VLDL及HDL等脂蛋白的分解代谢中起着重要的调节作用。首先是Chao等^[2]观察到apoC I, apoC II及apoC III的混合制品具有抑制肝细胞识别、结合VLDL的作用。Van Berkell等^[3]发现, apoC III可抑制完整CM与大鼠肝实质细胞及肝非实质细胞的结合。Gustafson^[4]的研究显示,¹²⁵I标记apoC III可与肝内皮细胞呈可饱和性结合;Scatchard作图分析发现这种结合具有受体结合的特征;能被非标记apoC III所抑制。本室张林华等^[5]的研究发现大鼠肝非实质细胞膜存在特异的apoC III受体。本文用¹²⁵I标记人apoC III为配体,建立了小鼠肝细胞膜apoC III受体放射分析法,并对人及小鼠肝细胞膜apoC III结合位点的特性进行了研究。

1 材料与方法

1.1 材料

人apoC III由刘秉文等^[6]制备提供。BALB/C小鼠体重18—20g,由本校实验动物中心提供。¹²⁵I-NaI,无载体,北京原子能科学院产品。牛血清白蛋白(BSA,电泳纯)为中国科学院生物物理所产品。聚乙二醇(PEG),Mr=6000,分析纯,日本进口分装。胰蛋白酶,Difco进口分装。牛γ球蛋白由本室陈曼玲提供。正常人血浆来自献血员。人肝脏取自肝内胆管结石病人切除的肝叶,由本校附一院外科提供。

1.2 方法

1.2.1 apoC III的标记

按刘秉文等^[7]氯胺-T法标记人apoC III。标记apoC III的比放射性为13.1—25.8μCi/μg,其放射性98.7%—99.6%被10%三氯醋酸沉淀。随羊抗人apoC III血清稀释度的增加,¹²⁵I标记apoC III与抗体的结合逐渐减少,表明¹²⁵I标记apoC III具有免疫活性。

1.2.2 人血浆HDL、LDL及VLDL的分离纯化

按张林华等^[8]一次性密度梯度超速离心法分离制备VLDL、LDL及HDL。

* 国家教委博士点科学基金及纽约中华医学基金部分资助课题。

1.2.3 肝细胞膜的分离纯化

人及小鼠肝细胞膜分离纯化按 Ray 等^[9]法。产率为 1.08mg 膜蛋白每克人肝湿组织, 1.23mg 膜蛋白每克鼠肝湿组织。与肝匀浆比较, 纯化人肝细胞膜 5'-核苷酸酶 (5'-AMPase) 比活性增加 13.7 倍, 纯化鼠肝细胞膜 5'-核苷酸酶比活性增加 14.3 倍。

1.2.4 受体结合试验

反应介质为牛血清白蛋白 Tris-HCl 缓冲液 (50mmol/L Tris-HCl, pH7.5, 100mmol/L NaCl, 0.5mmol/L CaCl₂ 及 0.1% 牛血清白蛋白)。总结合管 (TB) 加入膜蛋白 10—18μg, ¹²⁵I-apoC III 50 000 cpm 左右及反应介质, 总体积为 100μl。非特异结合管 (NSB) 加入膜蛋白 10—18μg, ¹²⁵I-apoC III 50 000 cpm 左右, 过量 50 倍非标记 apoC III 及反应介质, 总体积为 100μl。0—4℃ 保温 2h 后, 加 30μg 牛 γ-球蛋白 及 0.5ml 5% (W/W) 4℃ 预冷的 PEG 6 000, 使 PEG 的终浓度为 4.2%。0—4℃ 静置 15min, 3 500r/min 离心 15min, 吸弃上清, 沉淀于 FJ2003 型 γ-闪烁计数器 (西安 262 厂) 上计数。非特异结合管与总结合管平行操作, 总结合减去非特异结合为特异结合 (SB)。各数据为双管测定的均值。

2 结 果

2.1 影响 apoC III 受体分析的某些因素

2.1.1 聚乙二醇分离结合及游离配体

随 PEG 浓度增加, 测得 TB 及 NSB 均增加。当 PEG 终浓度达 4.2% 时, SB 达到最高。因此选择 PEG 终浓度为 4.2% 来分离 B 与 F。B 代表与细胞膜结合的结合配体, F 代表未与细胞膜结合的游离配体。

2.1.2 膜蛋白量

在 0—18μg 范围内, 膜蛋白量与 ¹²⁵I-apoC III 的特异性结合呈比例关系。

2.1.3 保温时间

0—4℃ 保温 2h, ¹²⁵I-apoC III 与肝细胞膜的特异结合即可趋于平衡, 达到最大结合。

2.2 ¹²⁵I-apoC III 与人肝细胞膜的结合特

性

2.2.1 饱和试验及 Scatchard 作图分析

0—4℃ 保温 2h, ¹²⁵I-apoC III 随其浓度增加与人肝细胞膜的结合呈可饱和趋势 (图 1a)。Scatchard 作图分析呈直线 (图 1b), $\gamma = -0.947$, K_d 值为 $0.31 \mu\text{mmol/L}$ (3.1×10^{-7} mol/L), B_{max} 为 $1.74 \mu\text{g}/\text{mg}$ 膜蛋白。表明 ¹²⁵I-apoC III 与人肝细胞膜的结合为可饱和高亲和的结合, 无协同效应。

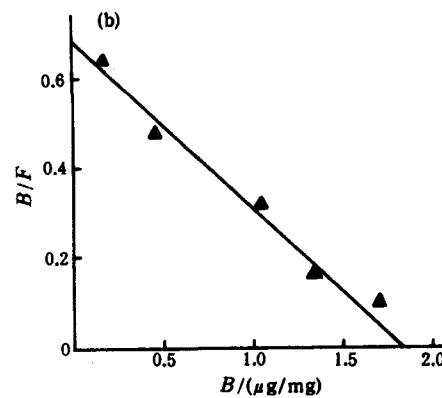
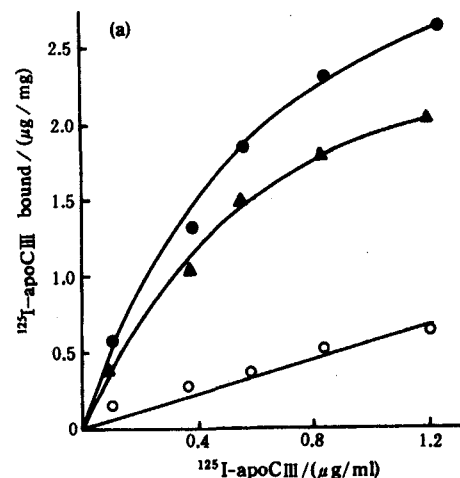


图 1 人肝细胞膜 apoC III 受体饱和曲线及 Scatchard 作图分析

Fig. 1 Binding of ¹²⁵I-labeled human apoC III to human liver plasma membranes

(a) 饱和曲线; (b) 特异结合的 Scatchard 图;

(a) Saturable curve; (b) Scatchard plot of specific binding at 0—4℃ for 2h

2.2.2 特异性

用0—80 μg 蛋白质每毫升非标记HDL、LDL及VLDL进行竞争性结合反应，结果见图2，非标记VLDL能抑制 ^{125}I -apoC III与人肝细胞膜的特异结合，且抑制曲线与非标记apoC III之抑制曲线相似。而LDL及HDL不能抑制 ^{125}I -apoC III与人肝细胞膜的结合。

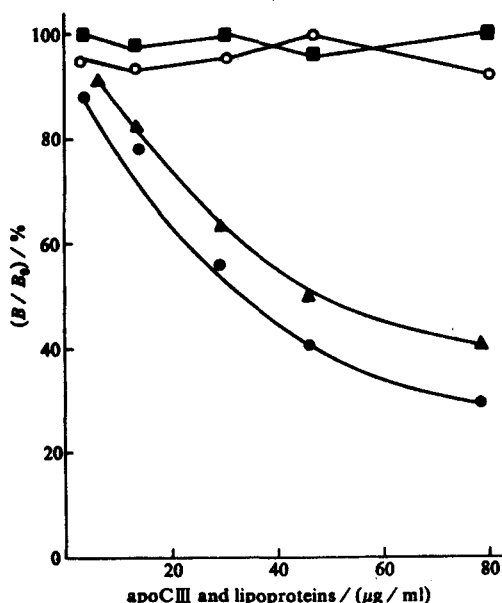


图2 非标记脂蛋白对人肝细胞膜结合 ^{125}I -apoC III的影响

Fig. 2 Effect of unlabeled human apoC III and lipoproteins HDL, LDL and VLDL on the binding of ^{125}I -labeled human apoC III to human liver plasma membranes

○—○—○, HDL; ■—■—■, LDL; ▲—▲—▲, VLDL;
●—●—●, unlabeled human apoC III

2.2.3 Ca^{2+} 、EDTA 及胰蛋白酶对 ^{125}I -apoC III与人肝细胞膜结合的影响

在反应系统中加0—5mmol/L CaCl_2 及0—30mmol/L EDTA- Na_2 ，对 ^{125}I -apoC III与人肝细胞膜的特异结合无影响，而胰蛋白酶对结合有显著的抑制作用（表1）。表明 ^{125}I -apoC III与人肝细胞膜的结合不依赖 Ca^{2+} ，对胰蛋白酶敏感。

2.3 ^{125}I -apoC III与小鼠肝细胞膜的结合特性

2.3.1 饱和试验及Scatchard作图分析

将 ^{125}I -apoC III与小鼠肝细胞膜在0—4℃保温2h， ^{125}I -apoC III与肝细胞膜的结合呈可饱和趋势。Scatchard作图分析呈直线， $r = -0.921$ ， K_d 为 $0.31\mu\text{mol/L}$ ($3.1 \times 10^{-7}\text{mol/L}$)， B_{\max} 为 $1.52\mu\text{g}/\text{mg}$ 膜蛋白。表明 ^{125}I -apoC III与小鼠肝细胞膜的结合为可饱和、高亲和的结合反应、结合无协同效应，与人肝细胞膜相似。

表1 Ca^{2+} 、EDTA 及胰蛋白酶对 ^{125}I -apoC III与人肝细胞膜结合的影响

Table 1 Effect of Ca^{2+} , EDTA- Na_2 and digestion with trypsin on the binding of human ^{125}I -apoC III to human liver plasma membranes

浓度 Concentration	结合量 ^{125}I -apoC III bound ($\mu\text{g}/\text{mg}$)
CaCl_2 (mol/L)	
0	1.4
2.5	1.2
5.0	1.2
EDTA- Na_2 (mol/L)	
0	1.3
15	1.2
30	1.3
Trypsin (μg)	
0	1.2
25	0.5
50	0.3

2.3.2 特异性试验

以0—80 μg 蛋白质每毫升非标记VLDL、LDL及HDL进行竞争性结合反应。结果显示，非标记VLDL能抑制 ^{125}I -apoC III与小鼠肝细胞膜的结合，且抑制曲线与非标记apoC III的抑制曲线相似。而LDL及HDL不能抑制 ^{125}I -apoC III与肝细胞膜的结合。

2.3.3 Ca^{2+} 、EDTA 及胰蛋白酶对 ^{125}I -apoC III与小鼠肝细胞膜结合的影响

在反应介质中加0—5mmol/L CaCl_2 及0—30mmol/L EDTA- Na_2 ， ^{125}I -apoC III与肝细胞膜的结合没有改变；肝细胞膜与0—50 μg 胰蛋白酶在37℃保温30min后，与 ^{125}I -apoC III的

结合显著降低，表明¹²⁵I-apoC III与小鼠肝细胞膜的结合不依赖Ca²⁺，对胰蛋白酶敏感。

3 讨 论

ApoC III是分布于血浆VLDL、CM及HDL含量最多的一类C族载脂蛋白。血浆VLDL及TG升高时，血浆apoC III显著升高。apoC III生物学功能迄今尚未阐明。体外实验发现，apoC III可抑制apoC II对LPL的激活^[1]。apoC III还可以抑制CM残骸及VLDL残骸被灌注肝脏受体的摄取^[2]。这些初步研究表明，apoC III在VLDL及CM的代谢中发挥重要作用。

我们在本室张林华等^[5]发现大鼠肝实质与非实质细胞膜上存在apoC III结合位点的基础上，分离了人及小鼠肝细胞膜，用¹²⁵I-apoC III建立了apoC III受体分析法，证实了Gustafson^[4]及张林华等提出的肝实质与非实质细胞膜上存在apoC III受体的设想。本研究发现，人及小鼠部分纯化的肝细胞膜存在可饱和特异性结合¹²⁵I-apoC III的位点，Scatchard作图呈直线， $r = -0.921$ ， K_d 为 3.7×10^{-7} mol/L， B_{max} 为 $1.52\mu\text{g}/\text{mg}$ 膜蛋白，apoC III及VLDL能竞争性抑制¹²⁵I-apoC III与膜蛋白结合，LDL及HDL对结合无影响。¹²⁵I-apoC III结合特性研究表明，肝细胞膜apoC III受体不同于已发现的肝脏其它脂蛋白受体，如LDL受体，HDL受体，apoE受体及apoA IV结合位点。¹²⁵I-apoC III与膜的结合不依赖于Ca²⁺，不受EDTA抑制，对胰蛋白酶敏感。而肝脏LDL受体及apoE受体与相应配体的结合则需Ca²⁺存在^[4]；HDL与HDL受体的结合不依赖于Ca²⁺，对胰蛋白酶不敏感^[10]；apoA IV结合位点部分依赖于Ca²⁺，且对胰蛋白酶亦不敏感^[11]。由此可见，肝细胞膜apoC III结合位点是一种不同于上述几种已发现的脂蛋白受体的新受体。

由于正常人血浆apoC III主要分布于VLDL中；且几种血浆脂蛋白中，仅VLDL能竞争性地抑制¹²⁵I-apoC III与膜结合；我们对apoC III结合位点的组织及细胞定位进行了研

究，发现apoC III结合位点仅存在于肝细胞膜表面（图3）；因此，我们推测，存在于肝细胞膜表面的apoC III受体能通过apoC III识别与结合VLDL，从而影响VLDL的降解代谢，apoC III参与识别结合apoC III受体的作用可能是apoC III调节VLDL代谢的新功能。以上仅是对apoC III受体的初步探讨，其本质及确切功能尚有待进一步研究。

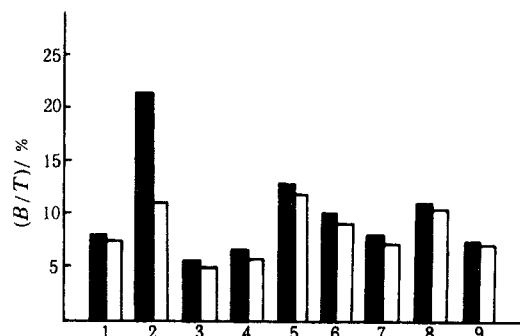


图3 小鼠各组织匀浆与¹²⁵I-apoC III的结合

Fig. 3 Binding of ¹²⁵I-labeled human apoC III to different tissues homogluate of mouse

■：总结合量；□：非特异性结合量

■：Total Binding；□：Nonspecific Binding

1. 心脏；2. 肝；3. 脾；4. 肺；5. 肾；6. 胃；
7. 大肠；8. 小肠；9. 肌肉
1. Heart；2. Liver；3. Spleen；4. Lung；
5. Kidney；6. Stomach；7. Large intestine；
8. Small intestine；9. Muscle

本教研室张林华博士等在技术上给予了帮助，谨致谢意。

参 考 文 献

- 1 Mahley R W, Innerarity T L, Rall S C et al. Plasma lipoproteins: apolipoprotein structure and function. *J Lipid Res*, 1984; **25**: 1277
- 2 Chao Y, Windler E, Chen G et al. Hepatic catabolism of rat and human lipoproteins in rats treated with 17 α -ethinyl estradiol. *J Biol Chem*, 1979; **254**: 11360
- 3 Van Berkel T, Kruijt J, Scheek L et al. Effect of apolipoprotein E and C III on the interaction of chylomicrons with parenchymal and non-parenchymal cells from rat liver. *Biochem J*, 1983; **216**: 71
- 4 Gustafson S. Apolipoprotein C II, C III and E: studies on

- their distribution in serum and their role in the uptake of lipoproteins by reticuloendothelial cells. *Acta Universitatis Upsaliensis*, 1986; **57**: 1
- 5 张林华, 刘秉文. 大鼠肝非实质细胞载脂蛋白CⅢ结合位点(受体)的研究. 华西医科大学学报, 1992; **23** (3): 23
- 6 刘秉文, 傅明德, 刘婉珍等. 人血浆载脂蛋白CⅠ, CⅡ及CⅢ的分离与鉴定. 华西医科大学学报, 1986; **17**: 81
- 7 刘秉文, 张林华, 刘婉珍等. 人血清载脂蛋白CⅢ放射免疫测定法的研究. 华西医科大学学报, 1987; **18**: 1
- 8 张林华, 刘秉文. 一次性密度梯度超速离心分离人血清脂蛋白. 生物化学与生物物理学报, 1989; **21** (3): 257
- 9 Ray T K. A modified method for the isolation of the plasma membrane from rat liver. *Biochim Biophys Acta*, 1970; **196**: 1
- 10 张林华, 刘秉文, 蓝天鹤. 大鼠肝细胞膜高密度脂蛋白受体的研究. 生物化学与生物物理学进展, 1991; **18**: 42
- 11 Weinberg R, Patton C. Binding of human apolipoprotein AⅣ to human hepatocellular plasma membranes. *Biochim Biophys Acta*, 1990; **1044**: 255

Study of apoC Ⅲ -Binding Sites of Human and Mouse Hepatic Plasma Membranes

Fang Dingzhi Liu Bingwen

(Department of Biochemistry, West China University of Medical Sciences, Chengdu 610041)

ABSTRACT

A specific, sensitive and simple radioligand binding assay for apoC Ⅲ -binding sites of hepatic plasma membranes has been established by separation of B/F with PEG. Addition of increasing concentration of ^{125}I -labeled apoC Ⅲ to human hepatic plasma membranes revealed saturation binding to membranes with a K_d of $0.31 \mu\text{mol/L}$ ($3.1 \times 10^{-7} \text{ mol/L}$) and binding maximum of $1.74 \mu\text{g}/\text{mg}$ of membrane protein. In displacement studies using unlabeled apoC Ⅲ and isolated lipoproteins HDL, LDL and VLDL, only apoC Ⅲ and VLDL effectively competed with ^{125}I -apoC Ⅲ for membrane binding sites. The binding of ^{125}I -apoC Ⅲ to human liver plasma membranes was Ca^{2+} -independent and was abolished when plasma membranes were treated with trypsin. The characteristics of apoC Ⅲ -binding sites of mouse liver plasma membranes was similar to that of human liver plasma membranes with an exception of binding maximum of $1.52 \mu\text{g}/\text{mg}$ of membrane protein.

Key words apoC Ⅲ binding sites (receptors), hepatic plasma membranes, radioligand assay

嗜肝病毒家族成员间进化关系的初步研究*

吴玉章 朱锡华

(第三军医大学免疫学教研室, 重庆 630038)

提 要

比较分析了嗜肝病毒家族四成员间的全基因核苷酸序列, 得出了它们之间的相对进化距离, DHBV 分野最早, GSHV, WHV 次之, HBV 最晚; 其进化方式属趋

* 国家自然科学基金资助项目。

收稿日期: 1992-02-29 修回日期: 1992-06-13